

П. А. БАКУТ, А. Л. ВОЛЬПОВ, Ю. А. ЗИМИН

для синтеза оптимальных методов выделения информации, содержащейся в принимаемом световом поле, используется статистический подход на основе анализа функционалов плотности вероятности (ФПВ) [1]. Полученные с его помощью выражения для оптимальной обработки справедливы для оптических полей в скалярном приближении. Однако природа электромагнитных волн векторная, так что они переносят также информацию, содержащуюся в поляризации, изменение которой происходит при отражении волн от предметов [2].

Рассмотрим векторное оптическое поле в плоскости апертуры оптической системы

$$\hat{\tilde{e}}(\rho, t) = \hat{e}(\rho, t) + \hat{n}(\rho, t), \quad (1)$$

где

$$\hat{e}(\rho, t) = \begin{bmatrix} e_x(\rho, t) \\ e_y(\rho, t) \end{bmatrix}; \quad \hat{n}(\rho, t) = \begin{bmatrix} n_x(\rho, t) \\ n_y(\rho, t) \end{bmatrix}; \quad (2)$$

$n_x(\rho, t)$, $n_y(\rho, t)$ — взаимно ортогональные компоненты аддитивного полностью некогерентного деполяризованного шума; $e_x(\rho, t)$, $e_y(\rho, t)$ — ортогональные компоненты поля, отраженного от предмета; ρ — радиус-вектор в плоскости апертуры; t — время.

Нас будет интересовать комплексная амплитуда

$$\hat{\tilde{e}}(\rho) = \int_0^T \int_{-\infty}^{\infty} (\hat{e}(\rho, t) + \hat{n}(\rho, t)) \delta(\omega - \omega_0) dt d\omega, \quad (3)$$

которая имеет смысл поля, пропущенного через интерференционный фильтр с частотой пропускания ω_0 и осредненного по времени T многое больше периода колебаний оптического поля $2\pi/\omega_0$.

Тогда можно ввести обозначения

$$\hat{\tilde{e}}(\rho) = \hat{e}(\rho) + \hat{n}(\rho), \quad (4)$$

$$\hat{e}(\rho) = \begin{bmatrix} e_x(\rho) \\ e_y(\rho) \end{bmatrix}; \quad \hat{n}(\rho) = \begin{bmatrix} n_x(\rho) \\ n_y(\rho) \end{bmatrix}. \quad (5)$$

Будем считать компоненты вектора $\hat{e}(\rho)$, $e_x(\rho)$ и $e_y(\rho)$ реализацией случайного нормального поля, образующегося при отражении от предмета с шероховатой поверхностью. Определим статистические характеристики поля $\hat{e}(\rho)$:

$$\begin{aligned} \langle \tilde{e}_x(\rho) \rangle &= \langle \tilde{e}_y(\rho) \rangle = 0; \\ \langle \tilde{e}_x(\rho_1) \tilde{e}_x(\rho_2) \rangle &= \langle \tilde{e}_y(\rho_1) \tilde{e}_y(\rho_2) \rangle = \langle \tilde{e}_x(\rho_1) \tilde{e}_y(\rho_2) \rangle = 0; \\ R_{xx}(\rho_1, \rho_2) &= \langle \tilde{e}_x(\rho_1) \tilde{e}_x^*(\rho_2) \rangle = \int_{\Omega} u_{xx}(r) e^{i \frac{h}{R} r(\rho_1 - \rho_2)} dr + N_0 \delta(\rho_1 - \rho_2); \\ R_{yy}(\rho_1, \rho_2) &= \langle \tilde{e}_y(\rho_1) \tilde{e}_y^*(\rho_2) \rangle = \int_{\Omega} u_{yy}(r) e^{i \frac{h}{R} r(\rho_1 - \rho_2)} dr + N_0 \delta(\rho_1 - \rho_2); \\ R_{xy}(\rho_1, \rho_2) &= \langle \tilde{e}_x(\rho_1) \tilde{e}_y^*(\rho_2) \rangle = \int_{\Omega} u_{xy}(r) e^{i \frac{h}{R} r(\rho_1 - \rho_2)} dr + N_0 \delta(\rho_1 - \rho_2); \end{aligned} \quad (6)$$

$$R_{yx}(\rho_1 - \rho_2) = \langle \tilde{\epsilon}_x^*(\rho_1) \tilde{\epsilon}_y(\rho_2) \rangle = \int_{\Omega} u_{yx}(r) e^{i \frac{k}{R} r (\rho_2 - \rho_1)} dr + N_0 \delta(\rho_1 - \rho_2),$$

где $\langle \rangle$ — пространственное осреднение (осреднение по реализациям); $u_{xx}, u_{yy}, u_{xy}, u_{yx}$ — элементы матрицы когерентности оптического поля в картииной плоскости предмета [3]; r — радиус-вектор в той же плоскости; $k = 2\pi/\lambda$ — волновое число; λ — длина волны излучения, соответствующая частоте ω_0 ; R — расстояние от предмета до приемной апертуры; Ω — площадь двумерной проекции предмета на картииную плоскость; N_0 — спектральная плотность интенсивности шума; $R_{ab}(\rho_1, \rho_2)$ — корреляционные функции компонент векторного поля $\tilde{\epsilon}(\rho)$, являющиеся элементами матрицы когерентности $\hat{G}(\rho_1, \rho_2)$. Последние два выражения, относящиеся к корреляции между согласованной и перекрестной компонентами поляризации вектора $\tilde{\epsilon}(\rho)$, следуют из результатов работы [3].

В силу независимости переноса взаимно-ортогональных составляющих комплексного векторного поля n -мерная плотность вероятности $\hat{\tilde{\epsilon}}(\rho)$ будет иметь вид

$$\begin{aligned} P(\tilde{\epsilon}_{x_1} \dots \tilde{\epsilon}_{x_n}, \tilde{\epsilon}_{y_1} \dots \tilde{\epsilon}_{y_n}) &= \frac{1}{(2\pi)^{2n} \sqrt{|G_{\alpha\beta jk}|}} \times \\ &\times \exp \left\{ -\frac{1}{2} \sum_{\alpha, \beta} \sum_{j, h=1}^n \sum_{j, k=1}^n \tilde{\epsilon}_{\alpha j} W_{\alpha\beta jk} \tilde{\epsilon}_{\beta h} \right\}, \end{aligned} \quad (7)$$

где $|G_{\alpha\beta jk}|$ — определитель блочной матрицы когерентности $\hat{G} \in 2n \times 2n$ вида

$$\hat{G}_{\alpha\beta jk} = \begin{bmatrix} G_{xx11} & \dots & G_{xx1n} & G_{xy1n+1} & \dots & G_{xy12n} \\ \vdots & \vdots & \vdots & \vdots & \vdots & \vdots \\ G_{xxn1} & \dots & G_{xxnn} & G_{xynn+1} & \dots & G_{xy2n} \\ G_{yx1n+1} & \dots & G_{yxnn+1} & G_{yy1n+1} & \dots & G_{yy12n} \\ \vdots & \vdots & \vdots & \vdots & \vdots & \vdots \\ G_{yx2n1} & \dots & G_{yx2nn} & G_{yy2nn+1} & \dots & G_{yy2n2n} \end{bmatrix}, \quad (8)$$

составленной из корреляционных матриц $R_{\alpha\beta jk}$; j, k соответствуют пространственным областям ρ_j, ρ_k площадью Δ ; $W_{\alpha\beta jk}$ — элементы матрицы, обратной \hat{G} . Осуществляя предельный переход [4] при $\frac{n \rightarrow \infty}{\Delta \rightarrow 0}$ ($\Delta = \Omega_0/n$; Ω_0 — площадь приемной апертуры оптической системы), получим ФНВ векторного поля $\hat{\tilde{\epsilon}}(\rho)$:

$$F\{\hat{\tilde{\epsilon}}(\rho)\} = k_0 \exp \left\{ -\frac{1}{2} \int_{\Omega_0} \int_{\Omega_0} \hat{\tilde{\epsilon}}^T(\rho_1) \hat{W}(\rho_1, \rho_2) \hat{\tilde{\epsilon}}(\rho_2) d\rho_1 d\rho_2 \right\}, \quad (9)$$

где матрица $\hat{W}(\rho_1, \rho_2)$ определяется из решения матричного уравнения

$$\int_{\Omega_0} \hat{G}(\rho_1, \rho_3) \hat{W}(\rho_2, \rho_3) d\rho_3 = \hat{\Delta}(\rho_1 - \rho_2), \quad (10)$$

здесь k_0 — коэффициент, зависящий от N_0 , времени регистрации T и отношения сигнал/шум q ; $\hat{\Delta}(\rho_1 - \rho_2)$ — матрица 2×2 , элементы которой равны $\delta(\rho_1 - \rho_2)$.

По аналогии с [4] будем искать $\hat{W}(\rho_1, \rho_2)$ в виде

$$\hat{W}(\rho_1, \rho_2) = \int_{\Omega} \int_{\Omega} \hat{V}(r_1, r_2) e^{i \frac{k}{R} (r_1 \rho_1 - r_2 \rho_2)} dr_1 dr_2 + \frac{1}{N_0} \hat{\Delta}_0(\rho_1 - \rho_2), \quad (11)$$

где $\hat{\Delta}_0$ — нормированная матрица когерентности шума;

$$\frac{\hat{\Delta}_0}{N_0}(\rho_1, \rho_2) = \hat{\Delta}_0(\rho_1 - \rho_2) = \begin{bmatrix} \delta(\rho_1 - \rho_2) & 0 \\ 0 & \delta(\rho_1 - \rho_2) \end{bmatrix}. \quad (12)$$

Подставляя (11) и (6) в (10), получим при хорошем разрешении приемной оптической системы [1] (т. е. когда $\int_{\Omega_0} \exp \left[i \frac{k}{R} (\mathbf{r}_1 - \mathbf{r}_2) \cdot \boldsymbol{\rho} \right] d\boldsymbol{\rho} \rightarrow \delta(\mathbf{r}_1 - \mathbf{r}_2)$) матрицу

$$\widehat{\mathbf{V}}(\mathbf{r}) = \frac{1}{2N_0^2} = \begin{bmatrix} u_{xx}(\mathbf{r}) & u_{xy}(\mathbf{r}) \\ \frac{T}{1 + \frac{T}{4N_0} u_{xx}(\mathbf{r})} u_{xx}(\mathbf{r}) & \frac{T}{1 + \frac{T}{4N_0} u_{xy}(\mathbf{r})} u_{xy}(\mathbf{r}) \\ \frac{u_{yx}(\mathbf{r})}{1 + \frac{T}{4N_0} u_{xy}(\mathbf{r})} & \frac{u_{yy}(\mathbf{r})}{1 + \frac{T}{4N_0} u_{yy}(\mathbf{r})} \\ \frac{T}{1 + \frac{T}{4N_0} u_{yx}(\mathbf{r})} u_{yx}(\mathbf{r}) & \frac{T}{1 + \frac{T}{4N_0} u_{yy}(\mathbf{r})} u_{yy}(\mathbf{r}) \end{bmatrix}. \quad (13)$$

Далее, подставляя (13) в (11), а затем результат — в (9), можно выразить ФПВ векторного поля в виде

$$\begin{aligned} F\{\widehat{\mathbf{e}}(\boldsymbol{\rho})\} = k_0 \exp \left\{ -\frac{1}{2} \int_{\Omega} V_{xx}(\mathbf{r}) \left| \int_{\Omega_0} \tilde{\mathbf{e}}_x(\boldsymbol{\rho}) e^{i \frac{k}{R} \mathbf{r} \cdot \boldsymbol{\rho}} d\boldsymbol{\rho} \right|^2 d\mathbf{r} - \right. \\ - \frac{1}{12} \int_{\Omega} V_{xy}(\mathbf{r}) \int_{\Omega_0} \int_{\Omega_0} \tilde{\mathbf{e}}_x(\boldsymbol{\rho}_1) \tilde{\mathbf{e}}_y^*(\boldsymbol{\rho}_2) e^{i \frac{k}{R} \mathbf{r}(\boldsymbol{\rho}_1 - \boldsymbol{\rho}_2)} d\boldsymbol{\rho}_1 d\boldsymbol{\rho}_2 d\mathbf{r} - \\ - \frac{1}{2} \int_{\Omega} V_{yx}(\mathbf{r}) \int_{\Omega_0} \int_{\Omega_0} \tilde{\mathbf{e}}_x^*(\boldsymbol{\rho}_1) \tilde{\mathbf{e}}_y(\boldsymbol{\rho}_2) e^{i \frac{k}{R} \mathbf{r}(\boldsymbol{\rho}_2 - \boldsymbol{\rho}_1)} d\boldsymbol{\rho}_1 d\boldsymbol{\rho}_2 d\mathbf{r} - \\ \left. - \frac{1}{2} \int_{\Omega} V_{yy}(\mathbf{r}) \left| \int_{\Omega_0} \tilde{\mathbf{e}}_y(\boldsymbol{\rho}) e^{i \frac{k}{R} \mathbf{r} \cdot \boldsymbol{\rho}} d\boldsymbol{\rho} \right|^2 d\mathbf{r} \right\}, \end{aligned} \quad (14)$$

где V_{ab} — элементы матрицы (13).

Если поверхность предмета статистически изотропна, то для антидиагональных элементов матрицы когерентности светового поля в картины плоскости выполняется соотношение

$$u_{xy}(\mathbf{r}) = u_{yx}^*(\mathbf{r}).$$

В этом случае информация, содержащаяся во втором и третьем членах (14), одна и та же и ее можно объединить. Таким образом, для оптимальной обработки векторного случайного поля, отраженного от предмета с шероховатой поверхностью, необходимо сформировать три величины

$$\begin{aligned} z_1 &= \int_{\Omega} V_{xx}(\mathbf{r}) \left| \int_{\Omega_0} \tilde{\mathbf{e}}_x(\boldsymbol{\rho}) e^{i \frac{k}{R} \mathbf{r} \cdot \boldsymbol{\rho}} d\boldsymbol{\rho} \right|^2 d\mathbf{r}; \\ z_2 &= \int_{\Omega} V_{yy}(\mathbf{r}) \left| \int_{\Omega_0} \tilde{\mathbf{e}}_y(\boldsymbol{\rho}) e^{i \frac{k}{R} \mathbf{r} \cdot \boldsymbol{\rho}} d\boldsymbol{\rho} \right|^2 d\mathbf{r}; \\ z_3 &= \int_{\Omega} V_{xy}(\mathbf{r}) \int_{\Omega_0} \int_{\Omega_0} \tilde{\mathbf{e}}_x(\boldsymbol{\rho}_1) \tilde{\mathbf{e}}_y^*(\boldsymbol{\rho}_2) e^{i \frac{k}{R} \mathbf{r}(\boldsymbol{\rho}_1 - \boldsymbol{\rho}_2)} d\boldsymbol{\rho}_1 d\boldsymbol{\rho}_2 d\mathbf{r}. \end{aligned} \quad (15)$$

Физически реализовать величины z_1 и z_2 можно следующим образом (рис. 1, a). Из векторного поля $\tilde{\mathbf{e}}(\boldsymbol{\rho}, t)$ с помощью поляроида 1 выделяется компонента $\mathbf{e}_\alpha(\boldsymbol{\rho}, t)$. Поле $\mathbf{e}_\alpha(\boldsymbol{\rho}, t)$ в плоскости апертуры пропускается через интерференционный светофильтр 2 с оптической частотой пропускания ω_0 , затем преобразуется по Фурье в плоскость изображения линзой 3, где установлена маска-эталон $\sqrt{V_{aa}}(\mathbf{r})$ 4. Затем регистрируется интегральная интенсивность за время T с помощью ФЭУ 6, на фотокатод которого поле собирается конденсором 5.

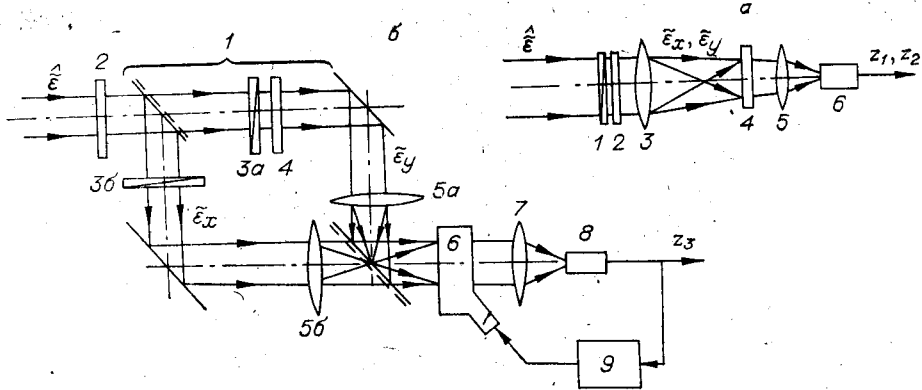


Рис. 1. Схема оптимальной обработки поля, отраженного от предмета с шероховатой поверхностью:

a — прием согласованной и перекрестной компонент поляризации; *b* — прием поля при корреляции между согласованной и перекрестной компонентами поляризации.

Величина z_3 формируется аналогичным образом (рис. 1, *b*), но маска-эталон в этом случае является амплитудно-фазовой, и пропускается через нее не обычное изображение, а результат взаимодействия $\tilde{\epsilon}_x(\rho)$ с $\tilde{\epsilon}_y^*(\rho)$ в плоскости изображений

$$u_{xy}(\mathbf{r}_1, \mathbf{r}_2) = \langle E_x(\mathbf{r}_1) E_y^*(\mathbf{r}_2) \rangle,$$

где

$$E_\alpha(\mathbf{r}) = \int_{\Omega} \epsilon_\alpha(\rho) e^{i \frac{\hbar}{R} \mathbf{r} \cdot \rho} d\rho. \quad (16)$$

Сформировать u_{xy} можно, например, в интерферометре Маха — Цандера *1*. Падающее векторное поле $\tilde{\epsilon}(\rho, t)$ после интерференционного светофильтра на частоте ω_0 2 в интерферометре разделяется на два плача. Затем в плечах выделяются $\tilde{\epsilon}_x(\rho)$ и $\tilde{\epsilon}_y(\rho)$ с помощью поляроидов *3a* и *3b*. После этого в одном плече происходит поворот плоскости поляризации поля $\tilde{\epsilon}_y(\rho)$ на $\pi/2$ с помощью пластины $\lambda/2$ *4*. Линзы *5a* и *5b* осуществляют преобразование Фурье полей $\tilde{\epsilon}_x$ и $\tilde{\epsilon}_y$ в плоскость изображения, совпадающую с выходной плоскостью интерферометра. Там поле, равное сумме полей $\tilde{\epsilon}_x$ и $\tilde{\epsilon}_y$, пропускается через маску-эталон $V|V_{xy}(\mathbf{r})| e^{i \arg(V_{xy}(\mathbf{r}))}$, сформированную на амплитудно-фазовом, управляемом из ЭВМ *9* транспаранте *6*. Затем поле собирается конденсором *7* на ФЭУ *8*. В этом случае формируемый на фотокатоде ФЭУ сигнал пропорционален

$$J_1 \sim \iint_{\Omega \Omega} (\langle E_x(\mathbf{r}_1) E_x^*(\mathbf{r}_2) \rangle + \langle E_y(\mathbf{r}_1) E_y^*(\mathbf{r}_2) \rangle + 2 \langle E_x(\mathbf{r}_1) E_y^*(\mathbf{r}_2) \rangle) d\mathbf{r}_1 d\mathbf{r}_2, \quad (17)$$

где E_α определяется из (16). Удаление пластины $\lambda/2$ из интерферометра нарушает корреляцию между взаимно-ортогональными компонентами поля. В этом случае сигнал на фотокатоде ФЭУ будет пропорционален

$$J_2 \sim \iint_{\Omega \Omega} (\langle E_x(\mathbf{r}_1) E_x^*(\mathbf{r}_2) \rangle + \langle E_y(\mathbf{r}_1) E_y^*(\mathbf{r}_2) \rangle) d\mathbf{r}_1 d\mathbf{r}_2. \quad (18)$$

Искомая величина z_3 определяется как разность $J_1 - J_2$.

Рассмотрим случай пространственно-когерентного векторного поля, например, отраженного от гладкого (зеркального) предмета.

Модель поля в картинной плоскости можно представить в виде [1]

$$\hat{\mathbf{E}}(\mathbf{r}, t) = E_0 \hat{\mathbf{E}}(\mathbf{r}, t) e^{i \varphi_0}, \quad (19)$$

где E_0 , φ_0 — независимые случайные величины. В плоскости апертуры приемной оптической системы будем иметь векторное поле

$$\hat{\tilde{e}}(\rho, t) = E_0 \hat{e}(\rho, t) e^{i\varphi_0} + \hat{n}(\rho, t) = E_0 e^{i\varphi_0} \int_{\Omega} \hat{E}(r, t) e^{\frac{i}{R} r \rho} dr + \hat{n}(\rho, t) \quad (20)$$

и при учете условия (2)

$$\hat{\tilde{e}}(\rho) = E_0 e^{i\varphi_0} \int_{\Omega} \hat{E}(r) e^{\frac{i}{R} r \rho} dr + \hat{n}(\rho), \quad (21)$$

шума $\hat{n}(\rho)$ [1]. Подставляя $\hat{n}(\rho)$ в (9) и проводя дальнейшие выкладки по аналогии с (10) и (11), получим

$$\hat{W}(\rho_1, \rho_2) = \frac{1}{N_0} \begin{bmatrix} \delta(\rho_1 - \rho_2) & 0 \\ 0 & \delta(\rho_1 - \rho_2) \end{bmatrix}. \quad (22)$$

Подставляя (22) в (9), найдем условный ФПВ, зависящий от случайных параметров E_0 и φ_0 :

$$\tilde{F}\{\hat{\tilde{e}}(\rho)/E_0, \varphi_0\} = k_0 \exp \left\{ -\frac{1}{2} \sum_{\alpha, \beta} \left(\left| \int_{\Omega_0} \tilde{e}_{\alpha, \beta}(\rho) d\rho \right|^2 - \frac{1}{N_0} \int_{\Omega_0} n_{\alpha, \beta}^2(\rho) d\rho \right) \right\}, \quad (23)$$

где $\alpha, \beta = x, y$. Нас интересуют операции, осуществляемые над комплексной амплитудой поля. Поэтому, обозначив первый член в (23) через A , выразим составляющие шума $n_{\alpha, \beta}$ из (21) в виде

$$\begin{aligned} n_x(\rho) &= \tilde{e}_x(\rho) - e_x(\rho) E_0 e^{i\varphi_0}; \\ n_y(\rho) &= \tilde{e}_y(\rho) - e_y(\rho) E_0 e^{i\varphi_0}. \end{aligned} \quad (24)$$

Тогда условный ФПВ представляется в форме

$$\begin{aligned} \tilde{F}\{\hat{\tilde{e}}(\rho)/E_0, \varphi_0\} &= k_0 \exp \left\{ -A - \frac{1}{2N_0} \int_{\Omega_0} [\tilde{e}_x^2(\rho) + \tilde{e}_y^2(\rho)] d\rho - q_0 E_0^2 + \right. \\ &\quad \left. + \frac{E_0 e^{i\varphi_0}}{N_0} \int_{\Omega_0} [\tilde{e}_x^*(\rho) \tilde{e}_x(\rho) + \tilde{e}_y^*(\rho) \tilde{e}_y(\rho)] d\rho \right\}, \end{aligned} \quad (25)$$

где

$$q_0 = \frac{1}{4N_0} \int_{\Omega_0} [|\tilde{e}_x(\rho)|^2 + |\tilde{e}_y(\rho)|^2] d\rho.$$

Для определения безусловного ФПВ воспользуемся методом максимального правдоподобия [4], с помощью которого найдем оценки E_0 и φ_0 . Для этого необходимо решить два уравнения

$$\begin{aligned} \frac{\partial}{\partial \varphi_0} \ln \tilde{F}\{\hat{\tilde{e}}(\rho)/E_0, \varphi_0\} &= 0; \\ \frac{\partial}{\partial E_0} \ln \tilde{F}\{\hat{\tilde{e}}(\rho)/E_0, \varphi_0\} &= 0. \end{aligned} \quad (26)$$

Подставляя значение ФПВ (25), получим после решения (26) безусловный ФПВ

$$\begin{aligned} F\{\hat{\tilde{e}}(\rho)\} &= k_0 \exp \left\{ -A - \frac{1}{2N_0} \int_{\Omega_0} [\tilde{e}_x^2(\rho) + \tilde{e}_y^2(\rho)] d\rho + \right. \\ &\quad \left. + \frac{1}{4N_0^2 q_0} \left[\left| \int_{\Omega_0} \tilde{e}_x^*(\rho) \tilde{e}_x(\rho) d\rho \right|^2 + \left| \int_{\Omega_0} \tilde{e}_y^*(\rho) \tilde{e}_y(\rho) d\rho \right|^2 \right] \right\}. \end{aligned} \quad (27)$$

Таким образом, оптимальная обработка векторного пространственно-когерентного поля сводится к формированию двух величин

$$z_1 = \left| \int_{\Omega_0} \varepsilon_x^*(\rho) \tilde{\varepsilon}_x(\rho) d\rho \right|^2; \\ z_2 = \left| \int_{\Omega_0} \varepsilon_y^*(\rho) \tilde{\varepsilon}_y(\rho) d\rho \right|^2, \quad (29)$$

т. е. к векторной согласованной фильтрации.

Величины z_1 и z_2 физически реализуемы с помощью голограммической согласованной фильтрации Ван дер Лютга отдельно для каждой компоненты поля: $\varepsilon_x(\rho)$ и $\varepsilon_y(\rho)$. Однако при регистрации и восстановлении голограмм между ε_x и ε_y должна сохраняться точная разность фаз на протяжении всего эксперимента, что практически трудно реализовать [5]. Большего результата, по-видимому, можно добиться, проводя голограммическую согласованную фильтрацию одновременно обеих компонент векторного поля в средах с векторным откликом [6]. В этом случае сразу формируется сумма $z_1 + z_2$ (рис. 2). Векторное эталонное поле $\varepsilon_0(\rho, t)$ проходит через интерференционный светофильтр 1 с оптической частотой пропускания ω_0 , затем происходит голограммическая регистрация его комплексной амплитуды $\hat{\varepsilon}_0(\rho)$ с линейно поляризованной под углом 45° опорной волной ε^0 в среде с векторным откликом 2. Восстанавливается голограмма объектным полем $\tilde{\varepsilon}(\rho, t)$, прошедшем через светофильтр 1.

Пропущенную голограмму поле преобразуется по Фурье линзой 3, и в фурье-плоскости происходит регистрация корреляции полей $\hat{\varepsilon}_0(\rho) \otimes \tilde{\varepsilon}(\rho)$ с помощью ФЭУ 4, что дает искомый сигнал $z_1 + z_2$.

Таким образом, учет векторного характера оптического поля позволяет изменить структуру его оптимальной обработки по сравнению со скалярным полем, что дает дополнительную информацию о предметах, которая в дальнейшем может быть использована для их идентификации.

ЛИТЕРАТУРА

1. Троицкий И. Н., Устинов Н. Д. Статистическая теория голограммии.— М.: Радио и связь, 1981.
2. Устинов Н. Д. и др. Формирование поляризационной структуры поля при отражении от шероховатых поверхностей.— Опт. и спектр., 1985, т. 58, № 6.
3. Устинов Н. Д. и др. Поляризационные характеристики отраженного когерентного света.— Квант. электроника, 1984, т. 11, № 1, с. 142.
4. Бакут П. А. и др. Вопросы статистической теории радиолокации/Под ред. Г. П. Тарраковского.— М.: Сов. радио, 1963, т. 1.
5. Дерюгин И. А., Курашов В. Н., Поданчук Д. В., Хорошков Ю. В. Исследование поляризационных характеристик объектов голограммическими методами.— Проблемы голограммы, 1973, № 2, с. 227.
6. Какичашвили Ш. Д. Обобщенная теория поляризационной голограммической записи.— В кн.: Материалы 9-й Всесоюзн. школы по голограммии. Тбилиси, 1977.

Поступила в редакцию
18 октября 1984 г.

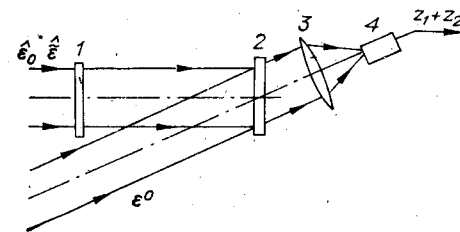


Рис. 2. Схема оптимальной обработки поля, отраженного от предмета с зеркальной поверхностью.